

## НОВЫЕ МИНЕРАЛЫ, КЛАССИФИКАЦИЯ И НОМЕНКЛАТУРА МИНЕРАЛОВ

УДК 549.755 + 548.736.5 (835.14)

© Н. В. ЗУБКОВА,\* д. чл. И. В. ПЕКОВ,\* д. чл. Н. В. ЧУКАНОВ,\*\*  
 А. В. КАСАТКИН,\*\*\* д. А. КСЕНОФОНТОВ,\* В. О. ЯПАСКУРТ,\*  
 С. Н. БРИТВИН,\*\*\*\* д. чл. Д. Ю. ПУЩАРОВСКИЙ\*

### ПЕРЕОПРЕДЕЛЕНИЕ ЛЕМАНСКИИТА: НОВЫЕ МИНЕРАЛОГИЧЕСКИЕ ДАННЫЕ, КРИСТАЛЛИЧЕСКАЯ СТРУКТУРА И УТОЧНЕННАЯ ФОРМУЛА $\text{NaCaCu}_5(\text{AsO}_4)_4\text{Cl} \cdot 3\text{H}_2\text{O}$

\* Московский государственный университет, геологический факультет,  
 119991, Москва, Воробьевы горы;  
 e-mail: n.v.zubkova@gmail.com

\*\* Институт проблем химической физики РАН, 142432, Московская обл., г. Черноголовка  
 \*\*\* Минералогический музей им. А. Е. Ферсмана РАН,  
 119071, Москва, Ленинский пр-т, 18-2

\*\*\*\* Санкт-Петербургский государственный университет, кафедра кристаллографии,  
 199034, Санкт-Петербург, Университетская наб., 7/9

Впервые решена кристаллическая структура леманскиита ( $R = 0.019$ ), что позволило переопределить этот минерал: уточнена его химическая формула, достоверно установлены симметрия и параметры элементарной ячейки. Корректно проиндцирована порошковая рентгенограмма леманскиита, получен ИК-спектр его образца без примесей других фаз. Показано, что этот минерал не является диморфом лавендулана  $\text{NaCaCu}_5(\text{AsO}_4)_4\text{Cl} \cdot 5\text{H}_2\text{O}$ , а отличается от него пониженным содержанием воды. Изученный образец происходит из зоны окисления месторождения Персеверансия (Гуанако, Антофагаста, Чили). Его эмпирическая формула имеет вид  $\text{Na}_{0.98}(\text{Ca}_{0.98}\text{Sr}_{0.03})_{\Sigma 1.01}\text{Cu}_{5.07}\text{As}_{3.97}\text{O}_{15.97}\text{Cl}_{1.03} \cdot 3\text{H}_2\text{O}$ , идеализированная формула может быть записана как  $\text{NaCaCu}_5(\text{AsO}_4)_4\text{Cl} \cdot 3\text{H}_2\text{O}$ . Минерал моноклинный,  $P2_1/m$ ,  $a = 9.250(2)$ ,  $b = 10.0058(10)$ ,  $c = 10.0412(17)$  Å,  $\beta = 97.37(3)^\circ$ ,  $V = 921.7(3)$  Å<sup>3</sup>,  $Z = 2$ . Леманскиит — представитель нового структурного типа в группе лавендулана. В основе его структуры лежат гетерополиэдрические слои, образованные кластерами из четырех связанных по ребрам искаженных Си-центрированных тетрагональных пирамид, к которым присоединены восемь AsO<sub>4</sub>-тетраэдров, связанных также с Си-центрированным полиэдром, не участвующим в кластерах и представляющим собой плоский квадрат. На-центрированные тригональные призмы и Са-семивершинники, присоединенные к гетерополиэдрическим слоям с двух сторон, сочленяются между собой в межслоевом пространстве через общие ребра.

**Ключевые слова:** леманскиит, лавендулан, группа лавендулана, арсенат, кристаллическая структура, зона окисления, рудник Персеверансия, Чили.

*N. V. ZUBKOVA,\* I. V. PEKOV,\* N. V. CHUKANOV,\*\* A. V. KASATKIN,\*\*\*  
D. A. KSENOFONTOV,\* V. O. YAPASKURT,\* S. N. BRITVIN,\*\*\*\*  
D. Yu. PUSHCHAROVSKY.\* REDEFINITION OF LEMANSKIITE:  
NEW MINERALOGICAL DATA, CRYSTAL STRUCTURE  
AND REVISED FORMULA  $\text{NaCaCu}_5(\text{AsO}_4)_4\text{Cl} \cdot 3\text{H}_2\text{O}$*

\* Moscow State University, Moscow, Russia

\*\* Institute of Problems of Chemical Physics RAS, Moscow, Russia

\*\*\* Fersman Mineralogical Museum, RAS, Moscow, Russia

\*\*\*\* Saint Petersburg State University, Saint Petersburg, Russia

Refinement of the crystal structure of lemanskiite ( $R = 0.019$ ), studied for the first time, has allowed redefining this mineral: to carry out refinement of its formula; redefine crystal system, space group and parameters of its unit-cell. X-ray powder diffraction pattern of lemanskiite has been correctly identified, the IR spectrum was obtained for its pure sample — free from pollutions by other phases. It is shown that lemanskiite is not a dimorph of lavendulan  $\text{NaCaCu}_5(\text{AsO}_4)_4\text{Cl} \cdot 5\text{H}_2\text{O}$  but contains less  $\text{H}_2\text{O}$  in comparison with the latter. Studied sample of lemanskiite has been picked up from the oxidation zone of Perseverancia deposit (Guanaco, Antofagasta, Chile). Its empirical formula is  $\text{Na}_{0.98}(\text{Ca}_{0.98}\text{Sr}_{0.03})_{\Sigma 1.01}\text{Cu}_{5.07}\text{As}_{3.97}\text{O}_{15.97}\text{Cl}_{1.03} \cdot 3\text{H}_2\text{O}$ . The idealized formula of lemanskiite may be written as  $\text{NaCaCu}_5(\text{AsO}_4)_4\text{Cl} \cdot 3\text{H}_2\text{O}$ . The mineral is monoclinic,  $P2_1/m$ ,  $a = 9.250(2)$ ,  $b = 10.0058(10)$ ,  $c = 10.0412(17)$  Å,  $\beta = 97.37(3)$  °,  $V = 921.7(3)$  Å<sup>3</sup>,  $Z = 2$ . Lemanskiite represents a new structure type in the lavendulan group. Crystal structure of lemanskiite is based on the heteropolyhedral layers built by clusters of four distorted Cu-centered tetragonal pyramids, linked by edges, and eight  $\text{AsO}_4$  tetrahedra connected also with the Cu-centered squares not involved in the clusters. Na-centered trigonal prisms and Ca-centered seven-fold polyhedra, connected with heteropolyhedral layers from both sides of each layer, are linked in the interlayer space by shared edges.

*Key words:* lemanskiite, lavendulan, lavendulan group, arsenate, crystal structure, oxidation zone, Perseverancia mine, Chile.

## ВВЕДЕНИЕ

Леманскиит — водный хлорарсенат меди, кальция и натрия — был описан как новый минеральный вид П. Ондрушем с соавторами в 2006 году (Ondruš et al., 2006). Он был встречен в зоне окисления месторождения золота Абундансия в рудном районе Гуанако в провинции Антофагаста (Abundancia mine, Guanaco, Santa Catalina, Antofagasta), Чили. Для этого минерала методами электронно-зондового и CHN-анализа был определен количественный химический состав и выведена идеализированная формула  $\text{NaCaCu}_5(\text{AsO}_4)_4\text{Cl} \cdot 5\text{H}_2\text{O}$ , идентичная формуле лавендулана. Дифракционного изучения монокристаллов леманскиита не удалось выполнить ввиду их несовершенства, но различия в порошковых рентгенограммах и физических свойствах лавендулана и арсената из Абундансии (табл. 1) оказались столь существенными, что позволили выделить последний в качестве самостоятельного минерального вида, диморфного с первым (Ondruš et al., 2006). В то же время определенное сходство порошковграмм леманскиита и членов группы лавендулана позволило авторам цитированной работы говорить об их родстве и предложить для своего нового минерала, по аналогии с оригинальными данными для зденекита  $\text{NaPbCu}_5(\text{AsO}_4)_4\text{Cl} \cdot 5\text{H}_2\text{O}$  — свинцового аналога лавендулана (Chiappero, Sarp, 1995), тетрагональную симметрию (пр. гр.  $P4_122$  или  $P4_322$ ) и элементарную ячейку с параметрами  $a = 9.9758(4)$ ,  $c = 36.714(1)$  Å,  $V = 3653.6(2)$  Å<sup>3</sup>,  $Z = 2$ . Проведя ревизию значительного числа этикетированных как «лавендулан» музейных образцов из различных месторождений, П. Ондруш с соавторами обнаружил, что некоторые из них также

Таблица 1

## Сравнительная характеристика леманскиита и лавендулана

## Comparative data of lemanskiite and lavendulan

Минерал	Леманскиит		Лавендулан
Формула	$\text{NaCaCu}_5(\text{AsO}_4)_4\text{Cl} \cdot 3\text{H}_2\text{O}$		$\text{NaCaCu}_5(\text{AsO}_4)_4\text{Cl} \cdot 5\text{H}_2\text{O}$
Сингония	Моноклинная		Моноклинная
Пространственная группа	$P2_1/m$		$P2_1/n$
$a, \text{\AA}$	9.284	9.260**	10.011
$b, \text{\AA}$	10.018	10.029**	19.478
$c, \text{\AA}$	10.058	10.031**	10.056
$\beta, {}^\circ$	97.25	97.30**	90.37
$V, \text{\AA}^3$	928	924**	1961
$Z$	2	2	4
Наиболее сильные рефлексы порошковой рентгенограммы:	9.21—100 4.990—14 $d, \text{\AA} — I$ 4.607—17 4.393—12 3.135—14 2.928—14 2.699—14 2.606—14 2.491—12		9.72—100 5.003—7 4.865—16 4.449—7 3.156—6 3.110—9 2.968—9 2.752—7
Плотность изм., $\text{г}/\text{см}^3$	3.78*		3.54
Источник	Настоящая работа (кроме значения плотности)		Anthony et al., 2000; Giester et al., 2007; ICDD 49-1856

Примечание. \* Данные из работы (Ondruš et al., 2006); \*\* рассчитано для голотипа леманскиита по величинам межплоскостных расстояний рефлексов его порошковой рентгенограммы, приведенным в работе (Ondruš et al., 2006), и значениям индексов  $hkl$ , полученным на основе наших структурных данных.

соответствуют по порошковым рентгенографическим данным леманскииту (Ondruš et al., 2006).

Несмотря на то что леманскиит не является экстремально редким минералом и образует иногда крупные (до нескольких миллиметров) индивиды, а их скопления достигают нескольких сантиметров в поперечнике, кристаллическая структура этого арсената до сих пор не была расшифрована, а представления о его симметрии и метрике элементарной ячейки базировались только на результатах анализа порошковых рентгенограмм. Таким образом, именно порошковые рентгенографические данные оставались главным критерием отнесения минерала с составом металл-хлорарсенатной части  $\text{NaCaCu}_5(\text{AsO}_4)_4\text{Cl}$  к лавендулану или же леманскииту.

Вместе с тем некоторые моменты в работе (Ondruš et al., 2006) вызывают серьезные вопросы. В первую очередь это касается формулы леманскиита и его химической идентичности лавендулану. Для последнего в 2007 году были опубликованы результаты изучения кристаллической структуры, подтвердившие ее отчетливо слоистый характер. Для лавендулана были однозначно подтверждена формула  $\text{NaCaCu}_5(\text{AsO}_4)_4\text{Cl} \cdot 5\text{H}_2\text{O}$  и установлена псевдотетрагональная моноклинная ячейка с объемом 1961  $\text{\AA}^3$  (табл. 1) (Giester et al., 2007). Отметим, что она практически идентична по метрике и объему (1964  $\text{\AA}^3$ ) ячейке зденекита, оказавшегося не тетрагональным, а тоже псевдотетрагональным моноклинным (Зубкова и др., 2003). Удвоение величины

объема ячейки лавендулана [с целью приведения в соответствие с упомянутой выше первоначальной тетрагональной моделью для зденекита (Chiappero, Sarp, 1995)] дает  $3922 \text{ \AA}^3$ , что весьма существенно отличается от величины  $3654 \text{ \AA}^3$ , опубликованной для леманскиита (Ondruš et al., 2006). Сильно различаются лавендулан и леманскиит также по величине главного базального межплоскостного расстояния ( $d = 9.7\text{--}9.9 \text{ \AA}$  у первого и  $9.18 \text{ \AA}$  у второго) и по измеренной плотности (соответственно 3.54 и  $3.78 \text{ g/cm}^3$ ) (Anthony et al., 2000; Ondruš et al., 2006; JCPDS-ICDD ##31-1280, 49-1857 и 51-1491). Допустить, что обладающие явно родственными слоистыми структурами диморфы  $\text{NaCaCu}_5(\text{AsO}_4)_4\text{Cl} \cdot 5\text{H}_2\text{O}$  могут настолько сильно разниться по этим характеристикам, трудно. В качестве наиболее вероятной причины таких отличий можно было бы предположить разную степень гидратации этих арсенатов, учитывая нахождение молекул воды в лавендуланоподобных структурах в межслоевом пространстве (Зубкова и др., 2003; Pushcharovsky et al., 2004; Giester et al., 2007): лавендулан в этом случае должен быть более высоководным по отношению к леманскииту, и соответственно они не диморфны.

Настоящая работа подтвердила это предположение. Нами был обнаружен водный минерал с составом металл-хлорарсенатной части  $\text{NaCaCu}_5(\text{AsO}_4)_4\text{Cl}$  (по электронно-зондовым данным), порошковая рентгенограмма которого оказалась очень близкой к порошковограмме оригинального леманскиита (табл. 2), что и дало основание отнести наш образец именно к этому минеральному виду. Из этого материала удалось извлечь пригодный для рентгеноструктурного анализа монокристалл, а полученная на нем модель структуры затем была уточнена методом Ритвельда по порошковым рентгеновским данным. Настоящая статья посвящена переопределению леманскиита в части химической формулы и кристаллографических параметров, характеристике структуры и сравнительной кристаллохимии этого минерала.

**Краткие сведения об изученном образце.** Изученный в настоящей работе образец леманскиита происходит из зоны окисления месторождения Персеверансия (Perseverancia mine), расположенного в том же рудном районе Гуанако, что и Абундансия. Этот минерал образует здесь в трещинах жильного кварца ярко-голубые пластинчатые со стеклянным блеском и совершенной спайностью по (100) кристаллы длиной до 2 мм, местами собранные в радиальные розетки или хаотические агрегаты размером до 5 мм в поперечнике. Кристаллы досковидные, уплощены по [100] ( $\{100\}$  является у них главной габитусной гранью), чаще всего расщеплены и обычно образуют параллельные агрегаты, срастаясь между собой по граням  $\{100\}$  (рис. 1).

**Химический состав.** Химический состав (катионы и хлор) леманскиита из рудника Персеверансия определен с помощью сканирующего электронного микроскопа Jeol JSM-6480LV, оснащенного энергодисперсионным спектрометром INCA-Energy 350 (окно ATW-2). Ускоряющее напряжение 20 кВ, ток зонда 0.7 нА, диаметр зонда 5 мкм. Эталоны:  $\text{NaCl}$  ( $\text{Na}, \text{Cl}$ ), микроклин ( $\text{K}$ ),  $\text{CaMoO}_4$  ( $\text{Ca}$ ),  $\text{SrF}_2$  ( $\text{Sr}$ ),  $\text{CuFeS}_2$  ( $\text{Cu}$ ) и  $\text{FeAsS}$  ( $\text{As}$ ). Содержание воды прямым методом не определялось по причине дефицита вещества, а рассчитано из структурных данных: 3 молекулы  $\text{H}_2\text{O}$  на формулу (см. ниже).

Химический состав леманскиита из рудника Персеверансия (мас. %):  $\text{Na}_2\text{O}$  2.92,  $\text{K}_2\text{O}$  0.02,  $\text{CaO}$  5.32,  $\text{SrO}$  0.26,  $\text{CuO}$  38.99,  $\text{As}_2\text{O}_5$  44.03,  $\text{Cl}$  3.54,  $\text{H}_2\text{O}_{\text{выч}}$  5.22,  $-\text{O}=\text{Cl}_2$  -0.80, сумма 99.50. Содержания остальных элементов с атомными номерами > 6 оказались ниже пределов их обнаруже-

Таблица 2

**Порошковые рентгенографические данные для леманскита**  
**Powder X-ray diffraction data of lemanskite**

$I_{\text{изм}}$	$d_{\text{изм}}$	$I_{\text{выч}}^*$	$d_{\text{выч}}^{**}$	$I_{\text{изм}}$	$d_{\text{изм}}$	Голотин: Ondruš et al., 2006		$Hkl$
						Наши данные		
2	10.00	0.5	9.958	2	9.946	001	9.600***	001
100	9.21	100	9.174	9	9.177	100	7.037	011
11	7.06	8	7.058	100	7.037	110	6.746	110
8	6.77	6	6.762	2	6.746	101	6.746	101
1	6.38	0.5	6.353	2	6.353	111	5.908	111
3	5.848	5	5.857	<1	5.857	111	5.584	111
1	5.374	1	5.363	1	5.363	111	4.976	020, 002
14	4.990	5, 5	5.003, 4.979	2	4.976	102, 200	4.639, 4.374	102, 200
17	4.607	7, 11	4.632, 4.587	3, 32	4.639	201	4.205	120, 201
12	4.393	11, 3	4.392, 4.385	3, 2	4.392	112	4.167, 4.119	112
0.5	0.5	0.5	4.204	2	4.204	210, 102	4.004	210, 102
10	4.173	10, 3	4.170, 4.158	10, <1	4.170	201	3.774	201
2	3.989	4	3.977	2	3.977	112	3.529	112
1	3.844	0.5	3.840	<1	3.840	022	3.373	022
3	3.531	2	3.529	<1	3.529	220	3.317	220
2	3.387	2	3.381	<1	3.381	003	3.317	003
2	3.322	1	3.319	<1	3.319	103	3.258	103
3	3.256	3	3.258	<1, <1	3.258	122, 202	3.202, 3.173	122, 202
8	3.194	13, 4	3.198, 3.177	3, 1	3.198	130, 113	3.135, 3.120	130, 113
14	3.135	14, 0, 5	3.135, 3.098	15	3.135	300	3.059	300
6	3.066	3	3.058	2	3.058	103	3.007	103
8	3.004	9	3.001	<1	3.001	131	2.977	131
14	2.928	0.5	2.953	<1	2.953	2.954	2.924	2.924
5	2.872	27, 1	2.929, 2.924	5	2.929, 2.924	2.870	2.870	2.870

Таблица 2 (продолжение)

Рудник Персеверансия, Антофагаста, Чили: наши данные				Голотип: Ondruš et al., 2006				Наши данные			
$I_{\text{изм}}$	$d_{\text{изм}}$	$I_{\text{выч}}^*$	$d_{\text{выч}}^{**}$	$I_{\text{изм}}$	$d_{\text{изм}}$	$I_{\text{изм}}$	$d_{\text{изм}}$	$hkl$			
9	2.765	0.5 2, 6, 3, 0, 5	2.835 2.771, 2.769, 2.766, 2.758	<1	2.835 2.771, 2.752	<1	2.835 2.771, 2.752	301	032, $\bar{3}02$ , 023, $\bar{2}13$		
8	2.727	3	2.730 2.707, 2.698, 2.682	<1	2.716 2.698, 2.692	<1	2.716 2.698, 2.692	$\bar{1}23$	$\bar{1}32$ , 230, 222		
14	2.699	8, 9, 15	2.707, 2.698, 2.682	<1, <1	2.620, 2.606	1, 6	2.620, 2.606	320, 132	320, 132		
14	2.606	12, 7	2.609, 2.602	2.573	2.501, 2.490, 2.489, 2.485	2	2.4915 2.4654 2.4084	123	040, 004, $\bar{2}23$ , $\bar{1}04$ 302, 321, $\bar{2}32$ $\bar{3}22$ , 140		
3	2.576	6	2.573	2.501, 2.490, 2.489, 2.485 2.468, 2.459, 2.450	2	2.4915 2.4654 2.4084	2	123	040, 004, $\bar{2}23$ , $\bar{1}04$ 302, 321, $\bar{2}32$ $\bar{3}22$ , 140		
12	2.491	5, 4, 6, 3	2.501, 2.490, 2.489, 2.485 2.468, 2.459, 2.450	2	2.4915 2.4654 2.4084	1	2	123	040, 004, $\bar{2}23$ , $\bar{1}04$ 302, 321, $\bar{2}32$ $\bar{3}22$ , 140		
5	2.461	4, 3, 3	2.468, 2.459, 2.450	2	2.4915 2.4654 2.4084	1	2	123	040, 004, $\bar{2}23$ , $\bar{1}04$ 302, 321, $\bar{2}32$ $\bar{3}22$ , 140		
3	2.416	2, 2	2.423, 2.413	<1	2.423, 2.413	<1	2.423, 2.413	312	312		
2	2.400	3	2.396	2.396	2.364	2	2.364	141	141		
1	2.360	0, 5	2.364	2	2.300	2	2.300	232	232		
2	2.303	2	2.300	2	2.300, 2.264	<1	2.300, 2.264	232, 223	232, 223		
1	2.267	2, 2	2.231	<1	2.231	<1	2.231	133	133		
1	2.239	1	2.171	<1	2.170	<1	2.170	$\bar{3}23$	$\bar{3}23$		
2	2.171	1	2.140	3, 1	2.142, 2.130	<1, <1	2.142, 2.130	412, $\bar{3}32$	412, $\bar{3}32$		
2	2.140	3, 1	2.108	1, 1, 1, 1	2.117, 2.111, 2.102	<1, <1	2.117, 2.111, 2.102	2.1626, 2.1361	2.1626, 2.1361		
2	2.108	1, 1, 1, 1	2.087	1	2.090	<1	2.090	2.0834	2.0834		
1	2.087	1	2.058	1	2.057	<1	2.057	241	241		
1	2.058	1	2.036	1	2.036	<1	2.036	242	242		
1	2.024	1	2.022	1	2.022	<1	2.022	214	214		
2	1.994	1	1.994	1	1.994	<1	1.994	$\bar{3}14$	$\bar{3}14$		
4	1.959	1, 1, 3	1.962, 1.961, 1.955	<1	1.962, 1.961, 1.955	<1	1.962, 1.961, 1.955	421	421		
3	1.950	0, 5, 1, 0, 5	1.953, 1.950, 1.950	<1	1.953, 1.950, 1.950	<1	1.953, 1.950, 1.950	051, $\bar{1}15$ , 150	051, $\bar{1}15$ , 150		
3	1.924	1, 0, 5, 0, 5, 1	1.930, 1.929, 1.921, 1.920, 1.919	<1	1.930, 1.929, 1.921, 1.920, 1.919	<1	1.930, 1.929, 1.921, 1.920, 1.919	015, $\bar{4}12$ , 323	015, $\bar{4}12$ , 323		
2	1.911	0, 5, 0, 5, 0, 5	1.909, 1.909, 1.909	<1	1.909, 1.909, 1.909	<1	1.909, 1.909, 1.909	$\bar{3}41$ , $\bar{1}51$ , 143, 224, $\bar{2}05$	$\bar{3}41$ , $\bar{1}51$ , 143, 224, $\bar{2}05$		
1	1.890	1						134, 151, $\bar{3}24$	134, 151, $\bar{3}24$		
								430	430		

1	1.854	1	1.856				
1	1.834	0,5, 0,5	1.837, 1.832				
1	1.806	1, 2, 2	1.805, 1.803, 1.798	4, 1	1.8049, 1.8009	510, 152, 502	
6	1.765	2, 6, 7, 1	1.773, 1.764, 1.763, 1.757	1	1.7643	125, 044, 144, 342	
1	1.724	3, 0,5	1.723, 1.714	3, 2	1.7219, 1.7216	520, 053	
3	1.696	0,5, 0,5, 0,5, 2	1.699, 1.693, 1.693, 1.692	<1		424, 441, 252, 522	
3	1.672	3, 1, 2	1.674, 1.671, 1.668	<1		350, 106, 060	
1	1.656	1	1.654	<1	1.6694	502	
1	1.608	3	1.609		1.6506		
3	1.584	0,5, 0,5, 3	1.588, 1.581, 1.579			405	
3	1.572	1, 3	1.572, 1.570	<1		434, 062, 305	
2	1.551	2, 1, 2, 1	1.554, 1.545, 1.548, 1.547		1.5758	253, 522	
1	1.532	1, 0,5	1.532, 1.529	<1, <1		352, 226, 162, 235	
2	1.510	1, 4, 2	1.514, 1.508, 1.506		1.5294, 1.5280	425, 600	
1	1.479	3	1.478			262, 450, 325	
1	1.465	0,5, 0,5	1.462, 1.462			452	
1	1.451	2	1.452			620, 603	
2	1.447	1, 2	1.448, 1.445	<1		622	
1	1.437	0,5, 0,5	1.437, 1.432		1.4479	345, 505	
3	1.414	1, 4, 2, 2	1.416, 1.415, 1.412, 1.410			354, 245	
1	1.390	1, 1	1.390, 1.388	<1		405, 155, -05, 452	
					1.3889	630, 525	

**Примечание.** \* Для вычисленной порошковограммы приведены отражения с интенсивностями  $\geq 0,5$ ; \*\* рассчитано из монокристальных данных, \*\*\* близко по положению к главной линии лавандула. Три рефлекса рентгенограммы ортитонального леманскита, приведенной в статье (Ondruš et al., 2006), которые не индицируются в найденной нами элементарной ячейке, выделены курсивом.

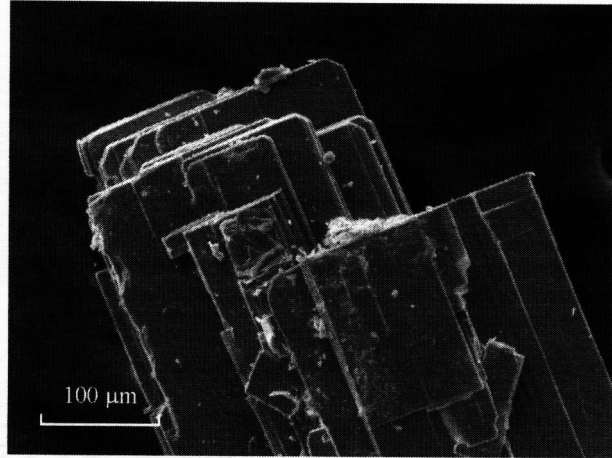


Рис. 1. Параллельный сросток кристаллов леманскиита из рудника Персеверансия, Гуанако, Антофагаста, Чили.

СЭМ-фото, изображение во вторичных электронах.

Fig. 1. Parallel intergrowth of lemanskiite crystals from the Perseverancia mine, Guanaco, Antofagasta, Chile.  
SEM (SE) image.

ния электронно-зондовым методом. Эмпирическая формула, рассчитанная на сумму  $O + Cl = 20$ , такова:  $Na_{0.98}(Ca_{0.98}Sr_{0.03})_{\Sigma 1.01}Cu_{5.07}As_{3.97}O_{15.97}Cl_{1.03} \cdot 3H_2O$ . Как можно видеть, она очень близка к идеализированной формуле  $NaCaCu_5(AsO_4)_4Cl \cdot 3H_2O$ , полученной на основе структурных данных. Изученные кристаллы леманскиита химически достаточно однородны.

**Инфракрасная спектроскопия.** Инфракрасные (ИК) спектры образцов леманскиита и лавендулана, запрессованных в таблетки с KBr (рис. 2), сняты на фурье-спектрометре ALPHA FTIR (Bruker Optics, Германия) в диапазоне волновых чисел 360—3800  $\text{cm}^{-1}$ , при разрешающей способности 4  $\text{cm}^{-1}$  и числе сканирований, равном 16. В качестве образца сравнения использовалась аналогичная таблетка из чистого KBr. Волновые числа полос в ИК-спектре леманскиита из Персеверансии (кривая *a* на рис. 2;  $\text{cm}^{-1}$ ; *s* — сильная полоса, *w* — слабая полоса, *sh* — плечо) и их отнесения следующие: 3551, 3441, 3419, 3303, 3223 ( $O-H$ -валентные колебания молекул  $H_2O$ ), 1734w, 1621, 1580w (деформационные колебания молекул  $H_2O$ ), 928, 875sh, 838s, 813s, 791s (валентные колебания анионов  $AsO_4^{3-}$ ), 539s, 483s, 439 (деформационные колебания анионов  $AsO_4^{3-}$  и, возможно,  $Cu-O$ -валентные колебания). Слабые полосы при 1225, 1102 и 629  $\text{cm}^{-1}$  относятся к небольшой примеси сульфатных анионов.

ИК-спектр лавендулана (кривая *c* на рис. 2) близок к спектру леманскиита в области колебаний анионов  $AsO_4^{3-}$ , но сильно отличается от последнего в области колебаний молекул воды (1500—3600  $\text{cm}^{-1}$ ). В частности, лавендулан характеризуется более сильным поглощением в области  $O-H$ -валентных колебаний. Положения полос поглощения у леманскиита и лавендулана в этой области сильно различаются. Кроме того, в спектре лавендулана присутствует дополнительная полоса 400  $\text{cm}^{-1}$ , которая может соответствовать валентным колебаниям фрагмента  $Ca-O-Na$ , принадлежащего паре вершинно-связанных  $Ca$ - и  $Na$ -центрированных полизидов (см. ниже). Относительно слабая полоса 1023  $\text{cm}^{-1}$ , наблюдающаяся в спектре лавендулана из Лавриона,

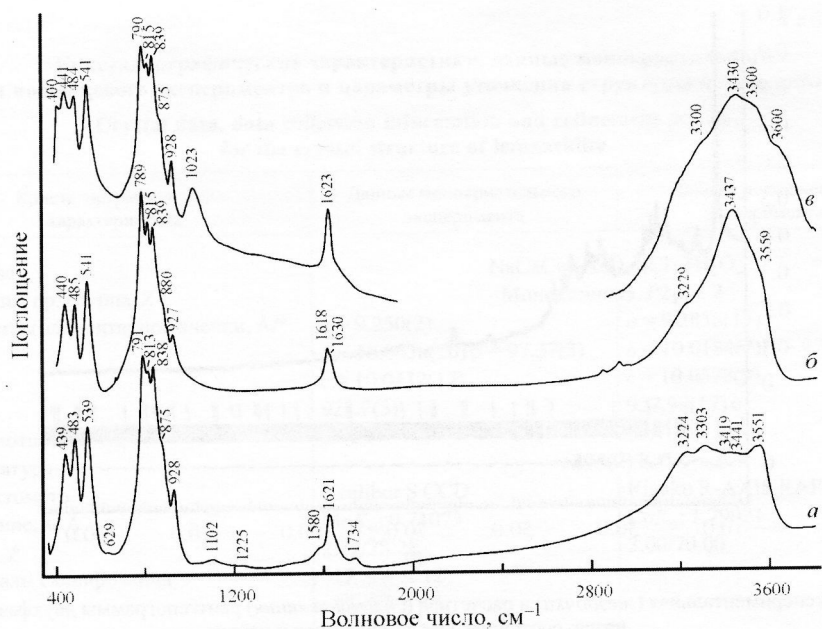


Рис. 2. Инфракрасные спектры леманскиита из Персеверансии (образец, изученный в настоящей работе — кривая *a*), материала первого описания леманскиита из Абундансии (по данным работы Ondruš et al., 2006 — кривая *б*) и лавендулана из рудника Серпьери, Лаврион, Греция (Chukanov, 2014 — кривая *в*).

Fig. 2. The IR spectra of lemanskiite from the Perseverancia mine, Guanaco, Chile, studied in this work (curve *a*), a sample from the Abundancia mine, Guanaco, described by Ondrus et al. (2006) (*b*), and lavendulan from the Serpieri mine, Lavrion, Greece (Chukanov, 2014) (*c*).

относится к анионам  $\text{PO}_4^{3-}$ , изоморфно замещающим арсенатные анионы в структуре этого минерала.

**Рентгенодифракционные данные.** Монокристальное рентгеновское исследование леманскиита выполнено при комнатной температуре на монокристальном дифрактометре XCaliburS CCD на  $\text{MoK}_\alpha$ -излучении ( $\lambda = 0.71073 \text{ \AA}$ ) для кристалла с размерами  $0.04 \times 0.08 \times 0.14 \text{ mm}$  для полной сферы обратного пространства. Обработка экспериментальных данных производилась с помощью пакета программ CrysAlisPro v. 1.171.37.35 (Agilent Technologies, 2014). Параметры моноклинной элементарной ячейки изученного монокристалла:  $a = 9.250(2)$ ,  $b = 10.0058(10)$ ,  $c = 10.0412(17) \text{ \AA}$ ,  $\beta = 97.37(3)^\circ$ ,  $V = 921.7(3) \text{ \AA}^3$ . Кристаллическая структура определена прямыми методами и уточнена в рамках пространственной группы  $P2_1/m$  с использованием комплекса программ SHELX-97 (Sheldrick, 2008). К сожалению, недостаточно хорошее качество кристалла (некоторая блочность с незначительной разориентировкой блоков) не позволило добиться низкого фактора расходности: заключительная величина  $R$  составила 11.50 % для 635 независимых отражений с  $I > 2\sigma(I)$ . В то же время удовлетворительные значения параметров тепловых смещений атомов и межатомных расстояний, а также результаты расчета баланса валентных усилий свидетельствуют о корректности структурной модели.

Для верификации структуры леманскиита (а также проверки на предмет возможного присутствия в образце других политипов минерала, учитывая

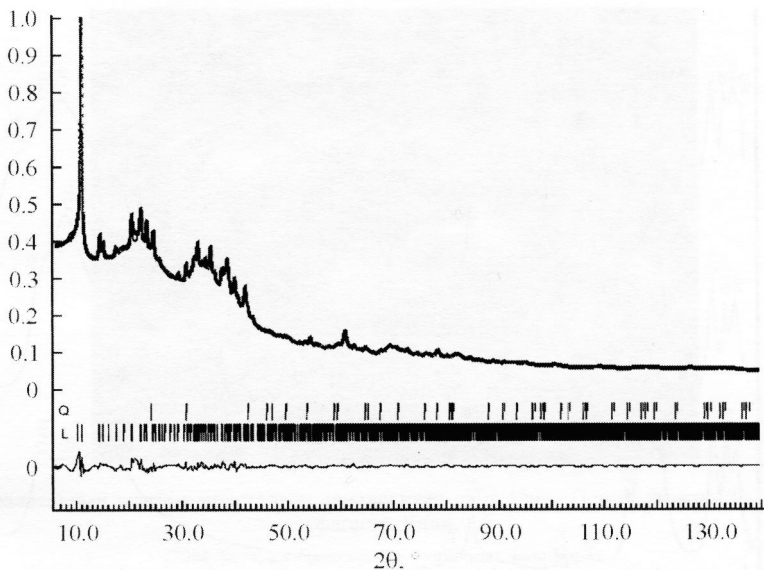


Рис. 3. Экспериментальная (звездочки) и расчетная (сплошная линия) рентгенограммы двухфазного образца, состоящего из леманскиита и кварца.

Вертикальные штрихи показывают местоположение рефлексов расчетной порошковой диаграммы [верхняя часть для кварца (Q), нижняя для леманскиита (L)], а кривая в нижней части рисунка — разностная кривая интенсивностей экспериментальной и расчетной рентгенограмм.

Fig. 3. Measured (dotted line) and calculated (continuous line) powder X-ray diagrams of multiphase pattern containing lemanskiite and quartz. Vertical strokes show positions of reflections of the calculated diagrams [the upper line for quartz (Q), the lower for lemanskiite (L)], curve in lower part of the figure is a difference between the intensities of measured and calculated diagrams.

вая его слоистое строение) было выполнено ее уточнение на порошковом образце с использованием метода Ритвельда. Рентгенодифракционные данные получены на дифрактометре Rigaku R-AXIS RAPID II на  $\text{CoK}_\alpha$ -излучении ( $\lambda = 1.79021 \text{ \AA}$ ) в геометрии Дебая—Шеррера ( $d = 127.4 \text{ mm}$ ). Интегрирование исходных данных с цилиндрического детектора и получение полного профиля рентгенограммы производились с помощью программного пакета osc2tab (Бритвин и др., 2017). В качестве исходной была взята модель структуры, полученная нами по монокристалльным данным, а уточнение проводилось в программе JANA2006 (Petříček et al., 2006). Параметры смещений атомов были зафиксированы. Для описания формы пиков использовалась функция псевдо-Фойт. При расчете вводились данные для примесного кварца, что позволило учесть несколько дифракционных пиков слабой интенсивности. Соотношение этих двух минералов в порошковом образце таково: 97.9 % леманскиита и 2.1 % кварца. Уточнение привело к следующим заключительным значениям факторов расходимости:  $R_{wp}$  1.90 %,  $R_p$  1.45 %,  $R_{obs}$  1.88 %. На рис. 3 представлены экспериментальная и рассчитанная рентгенограммы порошкового образца, содержащего леманскийт и кварц.

В табл. 2 даны рефлексы порошковых рентгенограмм леманскиита (с интенсивностью  $\geq 1 \%$  для экспериментальной и  $\geq 0.5 \%$  для расчетной), проиндексированные в соответствии со структурными данными; рефлексы кварца не включены.

Таблица 3

**Кристаллографические характеристики, данные монокристального и порошкового экспериментов и параметры уточнения структуры леманскиита**

**Crystal data, data collection information and refinement details  
for the crystal structure of lemanskiite**

Кристаллографическая характеристика	Данные монокристального эксперимента	Данные порошкового эксперимента
Формула	NaCaCu <sub>5</sub> (AsO <sub>4</sub> ) <sub>4</sub> Cl · 3H <sub>2</sub> O	
Сингония, пр. группа, Z	Моноклинная, P2 <sub>1</sub> /m, 2	
Параметры элементарной ячейки, Å/°	$a = 9.250(2)$ $b = 10.0058(10)$ $\beta = 97.37(3)$ $c = 10.0412(17)$ 921.7(3) 3.70	$a = 9.2838(13)$ $b = 10.0184(7)$ $\beta = 97.248(8)$ $c = 10.0578(9)$ 927.99(17) 3.67
$V, \text{Å}^3$		293(2) K
Расч. плотность, * г/см <sup>3</sup>		
Температура	Xcalibur S CCD	Rigaku R-AXIS RAPID II
Дифрактометр	MoK <sub>α</sub> ; 0.71073	CoK <sub>α</sub> ; 1.79021
Излучение; $\lambda$ , Å	2.82/28.28	3.00/70.00
$\theta_{\min}/\max$ , °		
Интервалы сканирования	$-12 \leq h \leq 12$ $-13 \leq k \leq 13$ $-12 \leq l \leq 12$	
Число рефлексов измеренных/независимых	6057/1941	
Число независимых рефлексов с $I > 2\sigma(I)$	635	
Факторы расходности	$R_1 0.1150$ $wR2 0.2139 [I > 2\sigma(I)]$	$R_{wp} 0.0190$ $R_p 0.0145$ $R_{obs} 0.0188$ 0.57/–0.54
$\Delta\rho_{\max}/\min$ , е/Å <sup>3</sup>	1.99/–2.07	

Примечание. \* Для идеализированной формулы.

Кристаллографические характеристики, данные монокристального и порошкового экспериментов и параметры уточнения структуры леманскиита приведены в табл. 3, координаты и тепловые параметры смещения атомов — в табл. 4, межатомные расстояния — в табл. 5, расчет баланса валентных усилий — в табл. 6.

**Кристаллическая структура и сравнительная кристаллохимия.** Леманскиит является представителем нового структурного типа, но при этом имеет существенное кристаллохимическое родство с другими представителями группы лавендулана (Giester et al., 2007) и структурно близкими к ним минералами и синтетическими соединениями. Кристаллическая структура леманскиита показана на рис. 4. В ее основе лежат гетерополиэдрические слои, параллельные (100) и состоящие из Cu<sup>2+</sup>-центрированных полиэдров и тетраэдров AsO<sub>4</sub>. В слоях выделяются кластеры из четырех связанных по ребрам Cu-пятивершинников —искаженных тетрагональных пирамид [Cu(1—3)], имеющих общую вершину, в которой расположен атом Cl. Расстояния Cu—Cl, разумеется, больше, чем расстояния Cu—O: соответственно 2.64—2.73 и 1.90—2.01 Å (табл. 2). К каждой четверке Cu-пятивершинников присоединены по кислородным вершинам восемь AsO<sub>4</sub>-тетраэдров: по четырем сверху и снизу, причем каждый тетраэдр имеет две общие вершины с дву-

Таблица 4

**Координаты атомов, эквивалентные параметры тепловых смещений катионов и Cl и изотропные параметры тепловых смещений атомов кислорода ( $U_{\text{eq}}/U_{\text{iso}}$ , Å<sup>2</sup> по данным монокристального эксперимента) и кратность ( $Q$ ) позиций в структуре леманскиита**

**Coordinates of atoms, equivalent displacement parameters for cations and Cl and isotropic displacement parameters for O atoms ( $U_{\text{eq}}/U_{\text{iso}}$ , in Å<sup>2</sup> after single-crystal data) and site multiplicities ( $Q$ ) in the structure of lemanskiite**

Позиция	<i>x</i>	<i>y</i>	<i>z</i>	$U_{\text{eq}}/U_{\text{iso}}$	$Q$
Na	0.713(2)	0.25	0.7071(18)	0.036(5)	2
	0.713(2)	0.25	0.7169(11)		
Ca	0.3224(10)	0.25	0.7798(9)	0.021(2)	2
	0.3243(9)	0.25	0.7812(7)		
As(1)	0.1883(3)	0.0444(2)	0.4806(3)	0.0184(8)	4
	0.1836(7)	0.0432(5)	0.4793(5)		
As(2)	0.8075(3)	0.9559(2)	0.9330(3)	0.0158(8)	4
	0.8219(6)	0.9489(6)	0.9305(5)		
Cu(1)	0.0804(4)	0.9802(3)	0.7618(4)	0.0211(10)	4
	0.0931(6)	0.9866(4)	0.7716(5)		
Cu(2)	0.0816(6)	0.75	0.5402(6)	0.0227(14)	2
	0.0612(9)	0.75	0.5292(6)		
Cu(3)	0.0809(6)	0.75	0.9861(6)	0.0210(14)	2
	0.0989(9)	0.75	0.9808(8)		
Cu(4)	0.6732(6)	0.75	0.7032(6)	0.0226(14)	2
	0.6843(11)	0.75	0.7176(10)		
Cl	0.7600(11)	0.25	0.2209(12)	0.026(3)	2
	0.7634(6)	0.25	0.2403(7)		
O(1)	0.667(2)	0.8853(19)	0.833(2)	0.025(5)	4
	0.6730(9)	0.9046(14)	0.8236(14)		
O(2)	0.808(2)	0.1252(18)	0.899(2)	0.024(5)	4
	0.7933(8)	0.1179(6)	0.9116(10)		
O(3)	0.9616(19)	0.8935(18)	0.885(2)	0.019(5)	4
	0.9682(8)	0.8806(10)	0.8744(11)		
O(4)	0.178(2)	0.0816(17)	0.640(2)	0.017(5)	4
	0.1954(8)	0.0731(2)	0.6425(5)		
O(5)	0.193(2)	0.8807(18)	0.456(2)	0.024(5)	4
	0.175(2)	0.8807(6)	0.447(2)		
O(6)	0.8062(19)	0.9218(16)	0.096(2)	0.014(4)	4
	0.8318(18)	0.8911(9)	0.0882(5)		
O(7)	0.6586(19)	0.8859(17)	0.562(2)	0.015(4)	4
	0.6716(9)	0.8911(18)	0.5816(19)		
O(8)	0.044(2)	0.1152(18)	0.385(2)	0.021(5)	4
	0.0292(11)	0.0963(13)	0.3850(13)		
Ow(1)	0.5000(19)	0.1010(17)	0.696(2)	0.019(5)	4
	0.5149(12)	0.1072(10)	0.710(3)		
Ow(2)	0.501(5)	0.25	0.964(4)	0.071(12)	2
	0.5022(8)	0.25	0.9667(7)		

Примечание. Данные монокристального эксперимента — каждая первая строка позиции, уточнение по методу Ритвельда — каждая вторая строка позиции.

Таблица 5

**Некоторые межатомные расстояния (Å) в структуре леманскиита  
(по данным монокристального эксперимента)**

**Selected interatomic distances (Å) in the structure of lemanskiite  
(after single-crystal data)**

As(1)—O(4)	1.656(19)	As(2)—O(6)	1.67(2)
—O(5)	1.659(18)	—O(3)	1.684(18)
—O(7)	1.684(17)	—O(1)	1.69(2)
—O(8)	1.698(19)	—O(2)	1.727(19)
Cu(1)—O(4)	1.904(19)	Cu(2)—O(5)	1.931(19) × 2
—O(6)	1.930(19)	—O(8)	1.986(19) × 2
—O(3)	1.958(18)	—Cl	2.645(13)
—O(8)	1.99(2)	Cu(4)—O(1)	1.88(2) × 2
—Cl	2.729(7)	—O(7)	1.953(19) × 2
Cu(3)—O(2)	1.91(2) × 2	Ca—Ow(2)	2.31(5)
—O(3)	2.006(19) × 2	—Ow(1)	2.446(18) × 2
—Cl	2.696(12)	—O(4)	2.48(2) × 2
Na—O(5)	2.34(2) × 2	—O(6)	2.513(18) × 2
—O(2)	2.37(2) × 2		
—Ow(1)	2.46(2) × 2		

Таблица 6

**Результаты расчета баланса валентных усилий для леманскиита**

**Bond valence calculations for lemanskiite**

Компонент	As(1)	As(2)	Cu(1)	Cu(2)	Cu(3)	Cu(4)	Ca	Na	Σ
Cl			0.14 <sup>x21</sup>	0.17	0.15				0.60
O(1)		1.23				0.58 <sup>x21</sup>			1.81
O(2)		1.11			0.54 <sup>x21</sup>			0.21 <sup>x21</sup>	1.86
O(3)		1.25	0.47		0.41 <sup>x21</sup>				2.13
O(4)	1.35		0.54				0.25 <sup>x21</sup>		2.14
O(5)	1.34			0.51 <sup>x21</sup>				0.23 <sup>x21</sup>	2.08
O(6)		1.30	0.51				0.23 <sup>x21</sup>		2.04
O(7)	1.25					0.48 <sup>x21</sup>			1.73
O(8)	1.21		0.43	0.44 <sup>x21</sup>				0.27 <sup>x21</sup>	2.08
Ow(1)							0.40	0.17 <sup>x21</sup>	0.44
Ow(2)									0.40
Σ	5.15	4.89	2.09	2.07	2.05	2.12	1.90	1.22	

**П р и м е ч а н и е.** Параметры взяты из работы Brese & O'Keeffe (1991). Сумма валентных усилий для атома Cl может быть увеличена в случае реализации возможных водородных связей с молекулой воды Ow(2) [расстояние Cl—Ow(2) ~ 3.29 Å]; в этом случае значение суммы валентных усилий для Ow(2) будет уменьшено. Аналогично возможно снижение значения суммы валентных усилий для молекулы воды Ow(1) в случае реализации водородных связей с атомами O(1) и O(7) [расстояния Ow(1)—O(1) 2.90 Å, Ow(1)—O(7) 2.81 Å]. В этом случае значение суммы валентных усилий для O(1) и O(7) будет увеличено.

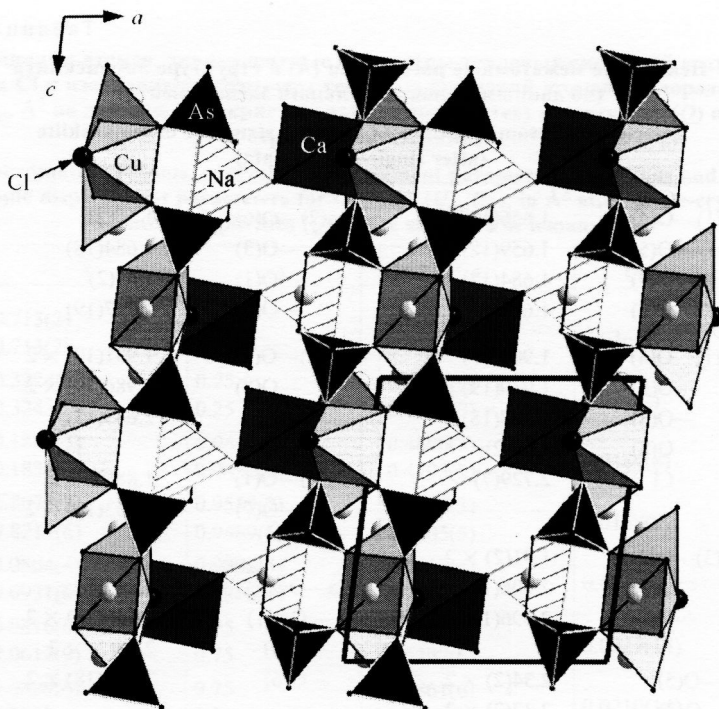


Рис. 4. Кристаллическая структура лемансиита в проекции на плоскость  $ac$ .  
Показана элементарная ячейка.

Fig. 4. The crystal structure of lemanskiite in the  $ac$  projection. The unit cell is outlined.

мя Си-пятивершинниками одного кластера и одну — с Си-полиэдром соседнего кластера. Своей четвертой вершиной каждый тетраэдр  $\text{AsO}_4$  связан с Си(4)-центрированным полиэдром, не участвующим в обсуждавшихся кластерах. В отличие от других представителей группы лавендулана, где Си(4) тоже центрирует тетрагональную пирамиду с атомом кислорода молекулы воды в пятой, удаленной вершине —  $\text{CuO}_4(\text{H}_2\text{O})$ , у лемансиита здесь наблюдается плоский квадрат  $\text{Cu}(4)\text{O}_4$ . На рис. 5, *a*, *b* показана основная строительная единица гетерополиэдрического слоя в структурах лемансиита и лавендулана, а сами эти слои изображены на рис. 5, *в*, *г*.

Следует отметить, что, так же как у лавендулана и его структурных аналогов зденекита и самплеита  $\text{NaCaCu}_5(\text{PO}_4)_4\text{Cl} \cdot 5\text{H}_2\text{O}$ , каждый слой в структуре лемансиита может быть описан в рамках тетрагональной симметрии. Это согласуется с исходными представлениями о симметрии минерала (Ondruš et al., 2006), однако, как и у других представителей группы лавендулана (Зубкова и др., 2003; Giester et al., 2007), в лемансиите соседние гетерополиэдрические слои сдвинуты друг относительно друга, что приводит к понижению симметрии до моноклинной.

Катионы Na в лемансиите располагаются в тригональных призмах, Ca — в семивершинниках. Эти полиэдры присоединены к гетерополидрическим слоям с двух сторон через общие с Си-пятивершинниками ребра. В структуре лемансиита полиэдры Na и Ca, присоединенные к соседним Си—As—O—Cl слоям, сочленяются между собой в межслоевом пространстве через общие

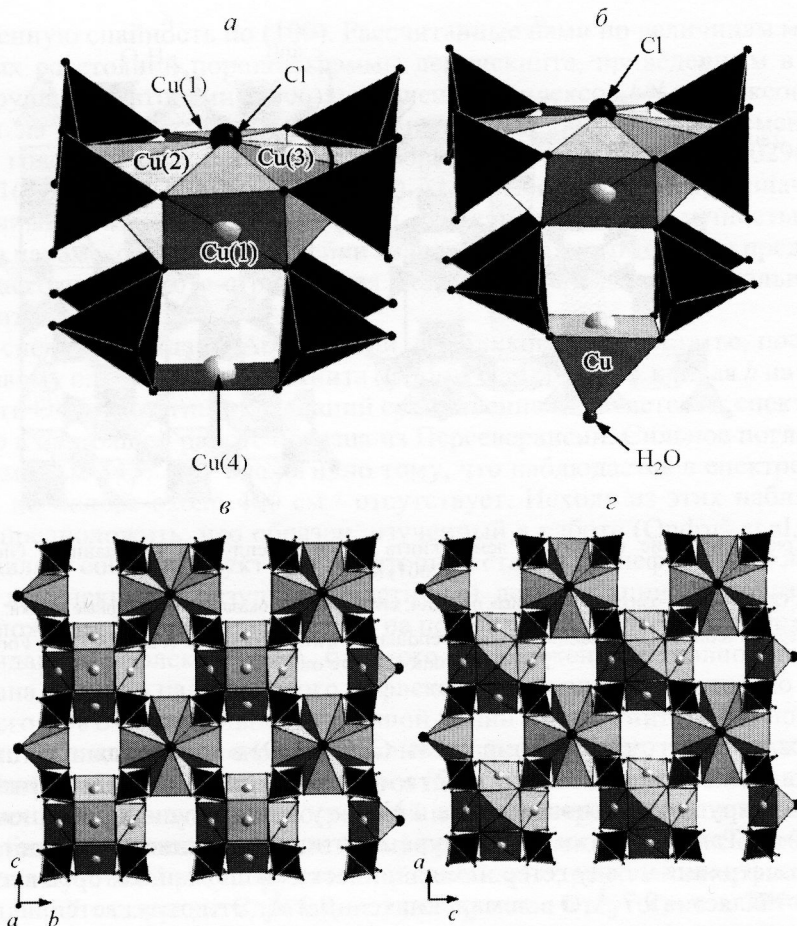


Рис. 5. Кластер из Cu-полиэдров и As-тетраэдров и полиэдр меди, не участвующий в кластере, в структурах леманскиита (*а*) и лавендулана (*б*) и гетерополиэдрические Cu-As-Cl-O-слои в леманскиите (*в*) и лавендулане (по данным Giester et al., 2007) (*г*).

Fig. 5. Cluster built by Cu-centred polyhedra and As-tetrahedra and Cu-centerd polyhedron not involved in the cluster in the structures of lemanskiite (*a*) and lavendulan (*b*) and heteropolyhedral Cu-As-Cl-O layers in lemanskite (*в*) and lavendulan (drawn after Giester et al., 2007) (*г*).

ребра Ow(1)—Ow(1) (рис. 6, *а*), в отличие от лавендулана, где соединение Na- и Ca-центрированных полиэдров происходит через общую вершину (рис. 6, *б*).

## ОБСУЖДЕНИЕ РЕЗУЛЬТАТОВ

Таким образом, лавендулан и леманскиит не являются диморфами, а различаются степенью гидратации. Уменьшение числа молекул воды, приходящихся на формулу, от пяти в лавендулане и его структурных аналогах (зденекит, самплеит) до трех в леманскиите приводит: (1) к некоторому изменению топологии гетерополиэдрического слоя, а именно к тому, что исчезает пятая вершина в полиэдре меди, не участвующем в кластерах, и этот полиэдр реду-

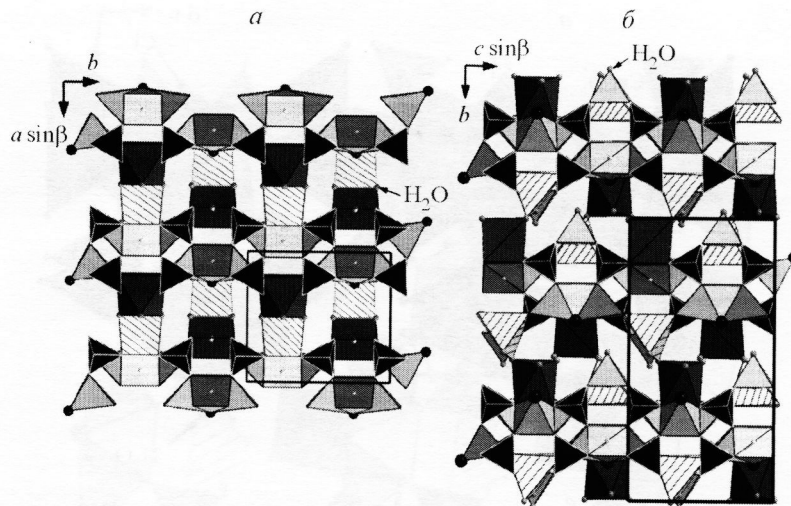


Рис. 6. Кристаллические структуры леманскиита (а) и лавендулана (по данным Giester et al., 2007) (б).

Обозначения полиэдров и атомных позиций, как на рис. 4. Показаны элементарные ячейки.

Fig. 6. Crystal structures of lemanskiite (a) and lavendulan (drawn after Giester et al., 2007) (b). For legend see Fig. 4. The unit cells are outlined.

цируется от тетрагональной пирамиды  $\text{CuO}_4(\text{H}_2\text{O})$  в лавендулане до плоского квадрата  $\text{CuO}_4$  в леманскиите, и (2) к переходу от вершинного сочленения полиэдров крупных катионов — Ca и Na — у лавендулана к реберному у леманскиита. Таким образом, структура ощутимо уплотняется за счет уменьшения расстояния между гетерополиэдрическими слоями, которое в лавендулане составляет  $\sim 9.7 \text{ \AA}$ , а в леманскиите  $\sim 9.2 \text{ \AA}$ . Это отражается на величинах базального (т. е. перпендикулярного к гетерополиэдрическим слоям или близкого к такой нормали) параметра элементарной ячейки ( $b$  у лавендулана и  $a$  у леманскиита), и соответственно на величинах базальных межплоскостных расстояний (в сериях  $d_{0k0}$  для лавендулана и  $d_{h00}$  для леманскиита). Лучше всего это различие заметно, разумеется, у значений  $d$  первых рефлексов данных серий:  $d_{010} = 9.7\text{--}9.8 \text{ \AA}$  у лавендулана и  $d_{100} \approx 9.2 \text{ \AA}$  у леманскиита. Его можно рассматривать как надежный диагностический признак (особенно учитывая, что в порошковых картинах обоих минералов это самое интенсивное отражение, табл. 1), позволяющий уверенно отличать друг от друга эти минералы, идентичные по химическому составу металл-хлорарсенатной части, а также идентифицировать смеси (ростки) лавендулана с леманскиитом.

Порошковые рентгенограммы нашего образца из рудника Персеверансия и голотипного леманскиита (Ondruš et al., 2006) очень близки (табл. 2). Только три линии порошковой голотипа не индицируются в определенной нами элементарной ячейке — это рефлексы с  $d = 9.600$  ( $I = 9\%$ ; по нашему мнению, он может принадлежать примесному лавендулану), 5.584 и 2.977  $\text{\AA}$  (два последних рефлекса не превышают по интенсивности 1%). Заметное увеличение интенсивности отражений 200 и 300 на порошковой картины оригинального леманскиита по сравнению с расчетными значениями (табл. 2), несомненно, обусловлено текстурированием частиц в препарате: минерал имеет

совершенную спайность по (100). Рассчитанные нами по величинам межплоскостных расстояний порошковограммы леманскиита, приведенным в работе П. Ондруша с соавторами (2006), и значениям индексов  $hkl$  рефлексов, полученным на основе наших структурных данных, параметры элементарной ячейки голотипа этого минерала таковы:  $a = 9.260(4)$ ,  $b = 10.029(5)$ ,  $c = 10.031(5)$  Å,  $\beta = 97.30(4)^\circ$ ,  $V = 924(1)$  Å<sup>3</sup>. Близость этих цифр к значениям, полученным для нашего образца (табл. 1), вкупе с хорошей точностью определения параметров «новой» ячейки голотипа, говорит о том, что предложенная в настоящей работе структурная модель верна и для оригинального леманскиита.

ИК-спектр образца из Абундансии, опубликованный в статье, посвященной первому описанию леманскиита (Ondruš et al., 2006 — кривая  $b$  на рис. 2), в области О-Н-валентных колебаний существенно отличается от спектра изученного в настоящей работе образца из Персеверансии. Сильное поглощение с максимумом 3437 см<sup>-1</sup> аналогично тому, что наблюдается в спектре лавендулана, но полоса около 400 см<sup>-1</sup> отсутствует. Исходя из этих наблюдений можно предположить, что образец, изученный в работе (Ondruš et al., 2006), представляет собой продукт промежуточной стадии трансформации лавендулана в леманскиит в результате частичной дегидратации. В пользу этого предположения говорит присутствие на порошковой рентгенограмме образца из Абундансии рефлекса 9.60 Å, близкого по положению к главной линии лавендулана. Однако наличие этого рефлекса, интенсивность которого составляет всего 9 % от интенсивности главной линии леманскиита, само по себе не позволяет объяснить высокое содержание воды в образце, изученном в работе (Ondruš et al., 2006). Наиболее вероятным объяснением наблюдающегося несоответствия между порошковой и ИК-спектром образца из Абундансии (и общим содержанием в нем воды) является предположение об образовании промежуточной разупорядоченной (возможно, рентгеноаморфной) фазы на начальной стадии дегидратации лавендулана. Отсутствие в ИК-спектре этой фазы полосы 400 см<sup>-1</sup> может говорить о том, что группы из вершинно-связанных Ca- и Na-центрированных полиэдров уже разрушены, но большая часть воды еще сохраняется в преобладающей по массе разупорядоченной фазе. Заметим, что явление образования промежуточной рентгеноаморфной фазы (потеря на определенном этапе дальнего порядка межатомных взаимодействий в ходе структурной перестройки монокристалла в монокристаллы) при дегидратации кристаллогидратов и термических превращениях кристаллических соединений со слоистыми структурами хорошо известно и неоднократно описывалось (см., например: Frost et al., 1951; Zakharov et al., 2016; Larsen et al., 2017).

П. Ондруш и соавторы приводят интересный факт: рентгенографически подтвержденный лавендулан из Лавриона (Греция), будучи растертым в порошок, через несколько дней перешел в леманскиит. Это, с их точки зрения, объясняется фазовым переходом и говорит о большей стабильности леманскиита по сравнению с лавендуланом (Ondruš et al., 2006). Как нам представляется, эта трансформация обусловлена частичным обезвоживанием, которое быстрее идет в порошке из-за намного большей удельной поверхности по сравнению с крупными кристаллами, а также по причине увеличения содержания структурных дефектов вследствие растирания кристаллов. Скорее всего, сама возможность реализации этой реакции и скорость ее протекания зависят от влажности воздуха.

В свете полученных в настоящей работе данных можно предположить, что изучение оригинального леманскиита, результаты которого приведены в статье (Ondruš et al., 2006), проводилось на не вполне однородном материале. Он определенно содержал собственно леманскиит — минерал, аналогичный структурно изученному нами (ему однозначно соответствует подавляющее большинство линий опубликованной П. Ондрушем с соавторами порошковой рентгенограммы: табл. 2), но, кроме того, в нем могли присутствовать лавендулан (реликтовый? к нему может относиться рефлекс с  $d = 9.60 \text{ \AA}$  порошковой рентгенограммы, а несколько уменьшенное по сравнению с порошковыми типичного лавендулана межплоскостное расстояние может говорить о начале процесса дегидратации минерала) и гипотетический рентгеноаморфный арсенат, близкий по содержанию воды скорее к лавендулану, чем к леманскииту. Это и могло дать повышенное по сравнению с найденным нами для последнего содержание воды при ее определении из «брутто-пробы» методом CHN-анализа. Таким образом, на будущее представляет интерес ревизионное исследование голотипа леманскиита из рудника Абундансия. В частности, можно было бы попытаться изучить его кристаллическую структуру методом Ритвельда на порошковом образце с использованием структурных данных для образца из рудника Персеверансия, приведенных в настоящей статье, в качестве модели.

## ЗАКЛЮЧЕНИЕ

Основные результаты настоящей работы заключаются в следующем:

- впервые решена кристаллическая структура леманскиита, оказавшегося представителем нового структурного типа, достоверно определены симметрия и параметры элементарной ячейки этого минерала, которые оказались существенно отличающимися от тех, что предполагались ранее на основе только порошковых рентгенографических данных;
- на основе структурных и спектроскопических данных уточнена формула леманскиита:  $\text{NaCaCu}_5(\text{AsO}_4)_4\text{Cl} \cdot 3\text{H}_2\text{O}$ , показано, что он не является диморфом лавендулана  $\text{NaCaCu}_5(\text{AsO}_4)_4\text{Cl} \cdot 5\text{H}_2\text{O}$ , как это считалось ранее, а отличается от него в химическом отношении меньшим содержанием воды;
- проведено кристаллохимическое сопоставление леманскиита и родственных ему минералов, показано топологическое отличие структур этого арсената и более высоководных представителей группы лавендулана;
- для леманскиита впервые опубликованы корректная порошковая рентгенограмма, проиндексированная на основе структурных данных, и ИК-спектр образца без примесей других фаз.

**Благодарности.** Работа выполнена при поддержке Российского фонда фундаментальных исследований, грант 17-05-00179 (в части минералогического исследования, монокристальной рентгенографии и расшифровки кристаллической структуры), и Российского научного фонда, грант 14-17-00071 (в части порошкового рентгенографического изучения, которое осуществлено на оборудовании ресурсного центра «Рентгенодифракционные методы исследования» СПбГУ).

## Список литературы

Бритьвин С. Н., Доливо-Добровольский Д. В., Кржизановская М. Г. Программный пакет для обработки рентгеновских порошковых данных, полученных с цилиндрического детектора дифрактометра Rigaku RAXIS Rapid II // ЗРМО. 2017. № 3. С. 104—107.

Зубкова Н. В., Пущаровский Д. Ю., Сарп Х., Титт С. Дж., МакЛин Э. Дж. Кристаллическая структура зденекита,  $\text{NaPbCu}_5(\text{AsO}_4)_4\text{Cl} \cdot 5\text{H}_2\text{O}$  // Кристаллография. 2003. Т. 48. С. 1006—1011.

## References

Agilent Technologies. CrysAlisPro Software system, version 1.171.37.35. 2014. Agilent Technologies UK Ltd, Oxford, UK.

Anthony J. W., Bideaux R. A., Bladh K. W., Nichols M. C. Handbook of Mineralogy. IV. Arsenates, Phosphates, Vanadates. Tucson, Mineral Data Publishing, 2000. 680 pp.

Brese N. E., O'Keeffe M. Bond-valence parameters for solids. *Acta Crystallographica*. 1991. Vol. B47. P. 192—197.

Britvin S. N., Dolivo-Dobrovolsky D. V., Krzhizhanovskaya M. G. Software for processing the X-ray powder diffraction data obtained from the curved image plate detector of Rigaku RAXIS Rapid II diffractometer. *Zapiski RMO. (Proc. Russian Miner. Soc.)*. 2017. Vol. 146. N 3. P. 104—107.

Chiappero P.-J., Sarp H. Zdenekite,  $\text{NaPbCu}_5(\text{AsO}_4)_4\text{Cl} \cdot 5\text{H}_2\text{O}$ , a new mineral from the Cap Grenonne mine, Var, France. *Europ. J. Miner.* 1995. Vol. 7. P. 553—557.

Chukanov N. V. Infrared Spectra of Mineral Species: Extended Library. Springer-Verlag, Dordrecht, 2014. 1703 p.

Frost G. B., Moon K. A., Tompkins E. H. The role of amorphous intermediate products in the dehydration of certain hydrated salts. *Canad. J. Chem.* 1951. Vol. 29(7). P. 604—632.

Giesler G., Kolitsch U., Leverett P., Turner P., Williams P. A. The crystal structures of lavendulan, sampleite, and a new polymorph of sampleite. *Europ. J. Miner.* 2007. Vol. 19. P. 75—93.

Larsen A. S., Rantanen J., Johansson K. E. Computational dehydration of crystalline hydrates using molecular dynamics simulations. *J. Pharm. Sci.* 2017. Vol. 106(1). P. 348—355.

Ondruš P., Veselovsky F., Sejkora J., Skála R., Pažout R., Frýda J., Gabašová A., Vajdak J. Lemanskiite,  $\text{NaCaCu}_5(\text{AsO}_4)_4\text{Cl} \cdot 5\text{H}_2\text{O}$ , a new mineral species from the Abundancia mine, Chile. *Canad. Miner.* 2006. Vol. 44. P. 523—531.

Petříček V., Dušek M., Palatinus L. Jana 2006. Structure determination software programs — Institute of Physics. Praha. 2006.

Pushcharovsky D. Yu., Zubkova N. V., Teat S. J., Maclean E. J., Sarp H. Crystal structure of mahnerite. *Europ. J. Miner.* 2004. Vol. 16. P. 687—692.

Sheldrick G. M. A short history of SHELX. *Acta Crystallographica*. 2008. Vol. A64. P. 112—122.

Zakharov V. V., Chukanov N. V., Dremova N. N., Kazakov A. I., Volkova N. N., Chervonnyi A. D., Korsounskii B. L., Shilov G. V. High-temperature structural transformations of 1,1-diamino-2,2-dinitroethene (FOX-7). Propellants, Explosives, Pyrotechnics. 2016. Vol. 41. P. 2006—2012.

Zubkova N. V., Pushcharovsky D. Yu., Sarp H., Teat S. J., MacLean E. J. Crystal structure of zdenekite  $\text{NaPbCu}_5(\text{AsO}_4)_4\text{Cl} \cdot 5\text{H}_2\text{O}$ . *Crystallography Reports*. 2003. Vol. 48. P. 939—943.

Поступила в редакцию  
20 июня 2017 г.